

ностью и при столь большой температуре, что вся энергия уносится нейтрино. Действительно, приравнявая давление излучения давлению магнитного поля

$$u/3 = B^2/8\pi, \quad (58.V)$$

находим ( $u = aT^4$ ), что при  $B \gtrsim 2 \cdot 10^{13}$  Э поле будет сдерживать плазму с излучением при температуре  $T \gtrsim 9 \cdot 10^9$  К. При плотностях  $\sim 10^5 - 10^6$  г/см<sup>3</sup>, которые характерны для рассматриваемых условий, основной вклад в скорость нейтринных потерь дает процесс аннигиляции электрон-позитронных пар (Бодэ и др. 1967):

$$e^+ + e^- \rightarrow \nu_e + \bar{\nu}_e. \quad (59.V)$$

Скорость излучения единицы объема

$$\epsilon_\nu \approx 10^{24} \text{ эрг}/(\text{см}^3 \cdot \text{с});$$

она не зависит от плотности вещества.

Формирование спектра излучения полярной колонки рассмотрено в § 7.

В заключение отметим ряд работ, в которых проводилось исследование течения в полярной колонке: Иное, 1975; Шапиро и Солпитер, 1975; Ванг и Франк, 1981; Лангер и Раппапорт, 1981; Морфил и др., 1984.

### § 3. Ускорение, замедление и вынужденная прецессия аккрецирующих звезд

Ускорение и замедление аккрецирующей звезды определяется обменом вращательным моментом между аккрецируемым веществом и звездой. Этот обмен осуществляется посредством электромагнитных сил в альвеновской зоне.

**Ускоряющий момент.** Аккрецирующие нейтронные звезды могут ускорять свое вращение в двойных системах, где захваченное вещество обладает орбитальным вращением (Шварцман, 1970г). В случае дисковой аккреции ускоряющий момент сил может быть представлен как поток вращательного момента, переносимого с последней кеплеровской орбиты (Прингл и Рис, 1972):

$$K_{su}(d) = \dot{M} \sqrt{GM_x R_d}. \quad (60.V)$$

Эта оценка тем лучше "работает", чем уже переходная зона, в которой тормозится аккрецируемое вещество.

Если аккреционного диска нет и вещество прямо захватывается из звездного ветра, то можно воспользоваться оценкой (85.И) (Дэвидсон и Острайкер, 1973; Илларионов и Сюняев, 1975):

$$K_{su}(w) = \dot{M} \eta_k \Omega R_G^2, \quad (61.V)$$

причем  $K_{su}(d) \geq K_{su}(w)$ . Если бы было наоборот, то вокруг звезды сформировался бы аккреционный диск, а "лишний" вращательный момент был бы унесен турбулентной вязкостью.

Последнее соображение подсказывает нам, что независимо от режима аккреции существует верхний предел ускоряющего звезду момента сил. Легко убедиться в том, что значение максимального момента сил равно

(Липунов, 1981)

$$K_{su}(\max) = \dot{M} \sqrt{GM_x R_c} . \quad (62.V)$$

Если бы вещество имело существенно больший момент, то оно не проникало бы под радиус коротации и не смогло бы передать свой момент звезде.

Вещество, упавшее на поверхность нейтронной звезды, высвечивает свою гравитационную энергию, так что светимость аккрецирующей звезды определяется стандартным соотношением  $L_x = \dot{M} GM_x / R_x$ . Используя его и уравнение изменения вращательного момента  $dI\omega/dt = K_{su}(\max)$ , получим максимальное значение ускорения аккрецирующей звезды:

$$|\dot{p}_{su}|_{\max} = \frac{R_x \dot{p}^{7/3} L_x}{(2\pi)^{4/3} (GM_x)^{1/3} I} \approx \\ \approx 5,3 \cdot 10^{-5} m_x^{-1/3} I_{45}^{-1} R_6 \dot{p}^{7/3} L_{37} \text{ с/год}; \quad (63.V)$$

$L_x$  — аккреционная светимость звезды,  $R_x$  и  $I$  — радиус и момент инерции звезды.

Мы получили ограничение, накладываемое на связь между тремя наблюдаемыми величинами:  $p$ ,  $\dot{p}$ ,  $L_x$ . Подчеркнем, что в верхний предел (63.V) не входят величины, зависящие от структуры магнитного поля, и он не зависит от конкретного режима аккреции.

**Замедляющий момент.** Гораздо бóльшую сложность для вычисления представляет значение тормозящего момента сил, приложенных к аккрецирующей звезде, обладающей магнитным полем. Автор всячески пропагандирует следующую форму записи для тормозящего момента сил:

$$K_{sd} = \kappa_t \frac{\mu^2}{R_c^3}, \quad (64.V)$$

где  $\kappa_t$  — безразмерный фактор порядка единицы.

К похожему результату мы приходим, рассмотрев магнитные напряжения в аккреционном диске. Линден-Белл и Прингл (1974), Липунов (1981) предположили, что поле звезды пронизывает диск. Появление тормозящего момента обусловлено возникновением тороидальной компоненты магнитного поля  $B_\varphi$ :

$$K_{sd} = \int_{R_{\min}}^{\infty} \frac{B_z B_\varphi}{4\pi} R dS, \quad (65.V)$$

где  $R_{\min}$  — минимальное расстояние, начиная с которого поле в диске направлено так, что момент сил направлен против вращения звезды. Очевидно,  $R_{\min} = R_c$ . Полагая  $B_z B_\varphi = \kappa_t B_d^2$ , где  $B_d = \mu/R^3$  — дипольное поле, получим формулу (64.V).

Наконец, рассмотрим совсем другую ситуацию. Пусть вокруг магнитосферы имеется турбулизованная плазменная оболочка (Дэвис и Прингл, 1981; Липунов, 1982в). Вследствие конечной вязкости возникает "трение" между магнитосферой и плазмой. Тормозящий момент можно оценить, используя классическую формулу для торможения сферы, погруженной в вязкую жидкость (Ландау и Лифшиц, 1953). Аппроксимируя магни-

тосферу сферой радиуса  $R_A$ , получим

$$K_{sd} = 8\pi\nu_t\rho R_A^3\omega,$$

где  $\nu_t$  – коэффициент турбулентной вязкости. Полагая его равным

$$\nu_t = \frac{1}{3} v_t l_t = \kappa_t \omega R_A \cdot R_A$$

и учитывая, что

$$R_A = \left( \frac{\mu^2}{2M\sqrt{2GM_x}} \right)^{2/7},$$

$$\rho = \frac{\dot{M}}{4\pi R_A^{3/2} \sqrt{2GM_x}},$$

приходим опять к выражению (64.V).

Торможение нейтронной звезды, вызванное генерацией звуковых волн в аккрецируемой плазме, подробно рассмотрено Сибгатуллиним (1984). Торможение звуком менее эффективно, чем рассмотренные выше процессы.

**Аналитическая модель моментов сил, приложенных к аккрецирующей замагниченной звезде.** Важнейшим моментом для понимания многих наблюдаемых особенностей аккрецирующих нейтронных звезд в двойных системах является предположение о том, что ускоряющие и замедляющие моменты сил присутствуют на стадии аккреции одновременно. Идея о том, что часть вещества может отбирать момент, а часть – наоборот, отдавать звезде, была высказана Липуновым и Шакурой (1976) и позже – для случая дисковой аккреции – Гошем и Лэмбом (1978).

В режиме дисковой аккреции вещество, взаимодействуя с магнитным полем внутри радиуса коротации, ускоряет звезду, а вне – наоборот, замедляет ее. В случае двухпотоковой аккреции часть вращательного момента может уноситься сферическим потоком или сферической турбулизованной оболочкой.

В самом общем виде можно записать уравнение изменения вращательно-го момента аккрецирующей звезды (Липунов, 1982в):

$$\frac{dI\omega}{dt} = \begin{cases} \dot{M}\eta_k \Omega R_G^2 - \kappa_t \frac{\mu^2}{R_c^3}, & \text{''квасисферическая аккреция'',} \\ \dot{M}\sqrt{GMR_d} - \kappa_t \frac{\mu^2}{R_c^3}, & \text{''диск'',} \end{cases} \quad (66.V)$$

где

$$R_d = \epsilon R_A.$$

Модель вращательного момента содержит три безразмерных параметра:  $\eta_t$ ,  $\kappa_t$  и  $\epsilon$ , которые, по-видимому, не сильно отличаются от единицы.

Формула (66.V) применима только до тех пор, пока идет аккреция. Например, в случае дисковой аккреции – пока  $R_d \leq R_c$ , т.е. пока  $p \leq p_A$  (см. гл. III). Если  $R_d \geq R_*$ , то изменением момента инерции можно пренебречь. Тогда, используя соотношения  $p = 2\pi/\omega$ ,  $L = \dot{M}GM_x/R_x$ ,  $A \approx \approx 5 \cdot 10^{-4} (3\kappa_t) \mu_{30}^2 I_{45}^{-1} m_x^{-1}$  с/год,  $B_d \approx 7,7 \cdot 10^{-5} \epsilon^{1/2} m_x^{-3/7} R_6^{6/7} I_{45}^{-1}$  с/год,

$B_w \approx 5,2 \cdot 10^{-6} R_6^2 \varphi(m) I_{45}^{-1} \dot{M}_{-6} \eta$  с/год,  $\varphi(m) \approx \frac{(M_0^{2/3}/M_x^2)}{10^{2/3}} M_\odot$ , получим

$$\dot{p} = \begin{cases} A - B_d p^2 L_{37}^{6/7}, & \text{"диск"} \\ A - B_w p^2 L_{37} T_{10}^{1/3}, & \text{"квазисферическая аккреция"} \end{cases} \quad (67.V)$$

Вернемся к уравнениям изменения вращательного момента (66.V). Вид этих уравнений показывает, что можно ввести скалярный потенциал  $V(\omega)$  такой, что (Липунов, 1987а)

$$\frac{d\omega}{dt} = -\nabla_\omega V(\omega). \quad (68.V)$$

Для момента сил (66.V) скалярный потенциал имеет следующий вид:

$$V(\omega) = \begin{cases} -A_2 \omega + A_3 \omega^3 + \text{const}, & \omega \geq 0, \\ -A_2 \omega - A_3 \omega^3 + \text{const}, & \omega < 0. \end{cases} \quad (69.V)$$

Удобство скалярного потенциала состоит не только в простоте энергетической интерпретации (рис. 65) — нейтронная звезда стремится перейти

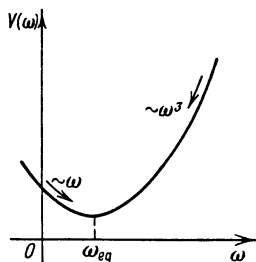


Рис. 65. Скалярный потенциал для аккрецирующей звезды в двойной системе

в состояние, соответствующее минимуму  $V(\omega)$ , но он оказывается полезным при описании стохастических флуктуаций периода вращения аккрецирующей звезды (см. § 8).

**Равновесный период.** Приведенное выше уравнение эволюции показывает, что аккрецирующая нейтронная звезда должна стремиться прийти в такое равновесное состояние, при котором суммарный вращательный момент сил обращается в нуль (Дэвидсон и Острайкер, 1973; Липунов и Шакура, 1976). Эта гипотеза прекрасно подтверждается наблюдениями рентгеновских пульсаров (см. дальше).

Приравняв правую часть (66.V) нулю, находим равновесное значение периода:

$$p_{eq} \approx 7,8\pi \sqrt{\kappa_t/\epsilon^2} (GM_x)^{-5/7} y^{-3/7}, \quad \text{"диск"} \quad (70.V)$$

$$p_{eq} = \sqrt{A/B_w} L_{37}^{-1/2} T_{10}^{-1/6}, \quad \text{"квазисферическая аккреция"}, \quad (71.V)$$

где  $y = \dot{M}/\mu^2$  — гравимагнитный параметр. Или в виде, удобном для вычислений:

$$p_{eq} \approx 1,0 L_{37}^{-3/7} \mu_{30}^{6/7} \text{ с, "диск"} \quad (72.V)$$

$$p_{eq} \approx 10 \eta_k^{-1/2} \dot{M}_{-6}^{-1/2} \varphi(m)^{-1/2} L_{37}^{-1} T_{10}^{-1/6} \mu_{30} \text{ с, "звездный ветер"}, \quad (73.V)$$

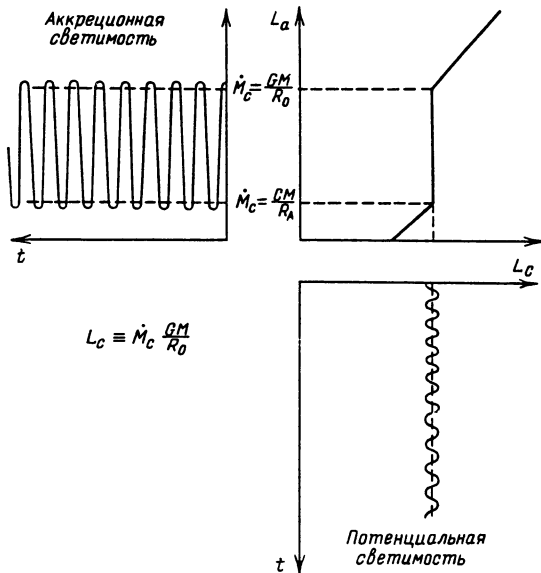


Рис. 66. Катастрофическое равновесие: слабое изменение темпа аккреции (потенциальной светимости) приводит к сильным скачкам рентгеновской светимости (аккреционной светимости)

где  $T_{10} = T/10$  – период двойной системы,  $\dot{M}_{-6} = \dot{M}_0/10^{-6} M_\odot/\text{год}$  – темп звездного ветра, а  $\varphi(m) \approx m_{10}^{2/3}/m_x^2$ ,  $m_{10} = M_0/10 M_\odot$  – масса оптической звезды,  $\kappa_t = 1/3$ ,  $\epsilon = 0,45$ .

Обратимся к случаю дисковой аккреции. Предложенная выше модель замедляющих и ускоряющих моментов сил обладает одним неожиданным свойством. Равновесный период, получаемый из равенства нулю моментов сил, связан с критическим периодом  $p_A$  безразмерным множителем:

$$p_{eq} = \sqrt{2\sqrt{2}} \frac{\kappa_t^{1/2}}{\epsilon^{7/4}} p_A. \quad (74.V)$$

Параметры  $\kappa_t$  и  $\epsilon$  должны быть таковы, чтобы  $p_{eq} > p_A$ .

Так как  $\kappa_t \approx \epsilon \approx 1$ , то в случае дисковой аккреции равновесный период близок к критическому периоду  $p_A$ , разделяющему стадии аккреции "А" и пропеллера "Р". Это означает, что при небольшом изменении темпа аккреции (на несколько десятков процентов или в несколько раз) нейтронная звезда будет переходить из состояния аккреции в состояние пропеллера (из-за изменения  $p_A$ , а не периода звезды!). Эти небольшие изменения  $\dot{M}$  приводят к катастрофическим изменениям светимости аккрецирующей звезды. Поэтому такое состояние мы назвали "катастрофическим равновесием" (Липунов, 1987б)\*.

\*) Катастрофой в теории катастроф называют скачкообразное изменение внутреннего параметра системы (светимости) при слабом "шевелении" внешнего параметра (темпа аккреции) (Постон и Стюарт, 1980).

Оно поясняется следующей схемой (рис. 66). При хаотическом изменении темпа аккреции нейтронная звезда совершает колебания из одного состояния в другое, что сопровождается огромным (в сотни раз) изменением светимости:

$$A \rightleftharpoons P,$$

$$L = \frac{\dot{M}GM_x}{R_x} \rightleftharpoons L = \frac{\dot{M}GM_x}{R_A}.$$

В случае аккреции из звездного ветра  $p_{eq}$ , по-видимому, сильно превосходит  $p_A$  и равновесие не является катастрофическим.

#### § 4. Наблюдаемые свойства рентгеновских пульсаров

Рентгеновские пульсары были открыты с борта специализированного рентгеновского спутника "Ухуру" (Шриер и др., 1972). К настоящему времени известно около 20 рентгеновских пульсаров (табл. 7). Основными наблюдаемыми величинами являются: рентгеновские светимости  $L_x$ , периоды пульсаров и изменение периодов  $p$  и  $\dot{p}$ , массы пульсаров  $M_x$ , периоды обращения двойных систем  $T$  (все пульсары, в этом нет сомнения, являются членами двойных систем). К этому надо добавить обширную информацию о виде спектров (в среднем имеющих тепловой характер с температу-

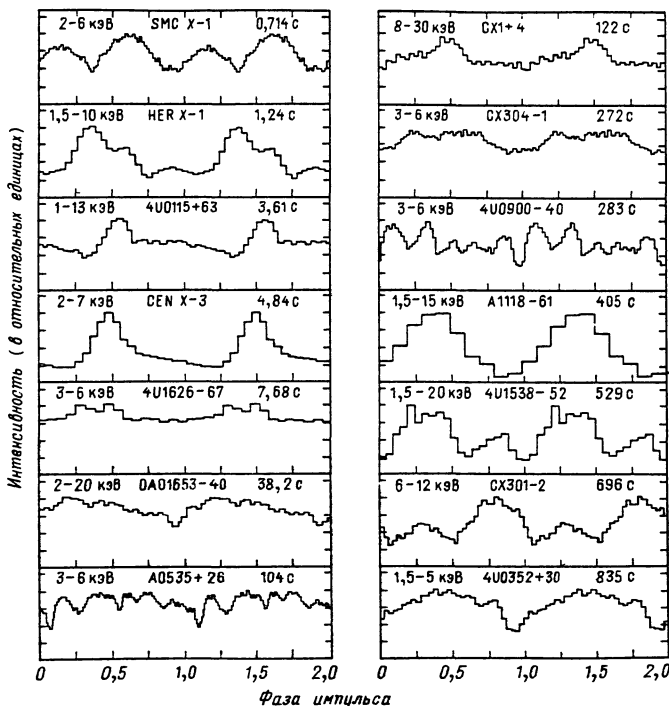


Рис. 67. Профиль импульсов рентгеновских пульсаров (Раппорт и Джосс, 1983)